

事例検討⑭ 資料

肺がんにおけるコンパニオン診断

アカデミア・アセンブリ 全体会議 検討日
2025年1月23日 (木)

注意事項

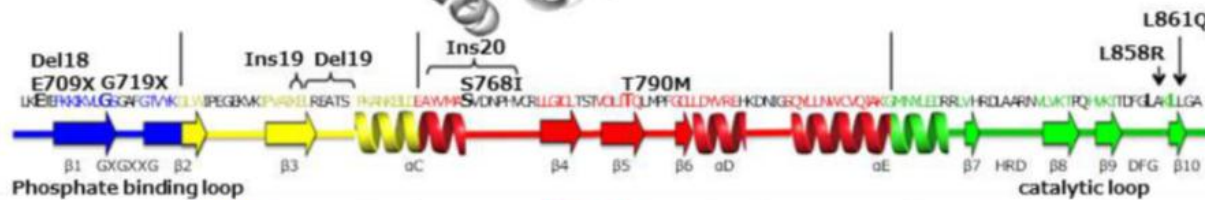
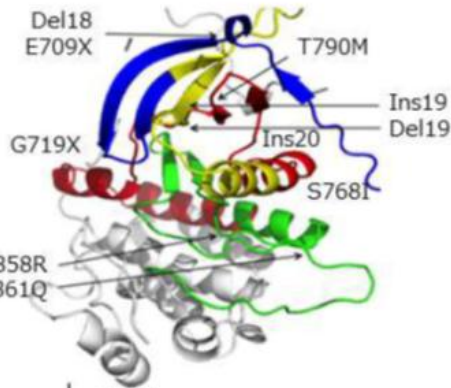
- この資料は、アカデミア・アセンブリ全体会議における事例検討の際に提示されたものです（一部修正が加えられている場合があります）。
- 薬剤の使用に関しては、必ず最新の添付文書をご参照ください。本資料には本邦未承認の情報が含まれる場合がありますが、そのような使用を推奨するものではありません。
- 医学・薬学の知見は日々更新されるため、本資料の内容が最新の科学的根拠と一致しているとは限りません。必ず最新の研究やガイドラインを確認してください。
- 本資料の利用によって生じた損害や不利益について、アカデミア・アセンブリおよび資料作成者は一切の責任を負いかねます。
- 許可なく本資料を二次利用または配布することはご遠慮ください。
- 本資料の情報には、外部文献やガイドラインを参照したものが含まれています。詳細については、該当する出典をご確認ください。
- 本資料は一般的な情報提供を目的としたものであり、特定の患者への適用可否については、必ず専門家の判断を仰いでください。
- また、アカデミア・アセンブリにおいて実施したアンケート調査の結果は、特定の治療を推奨するものではありません。

肺がんにおけるコンパニオン診断

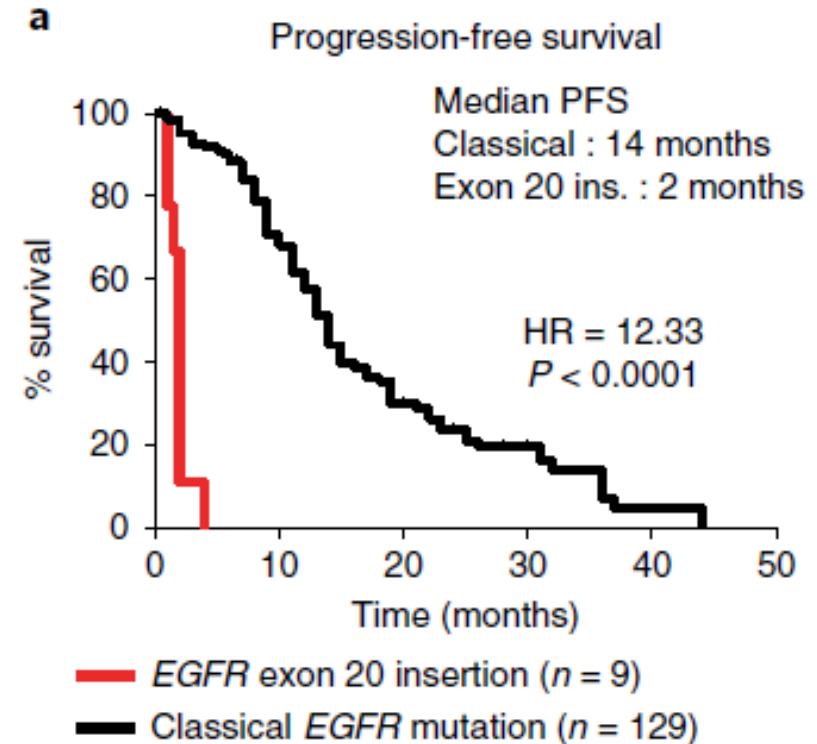
EGFR遺伝子異常

遺伝子異常の部位による治療方針

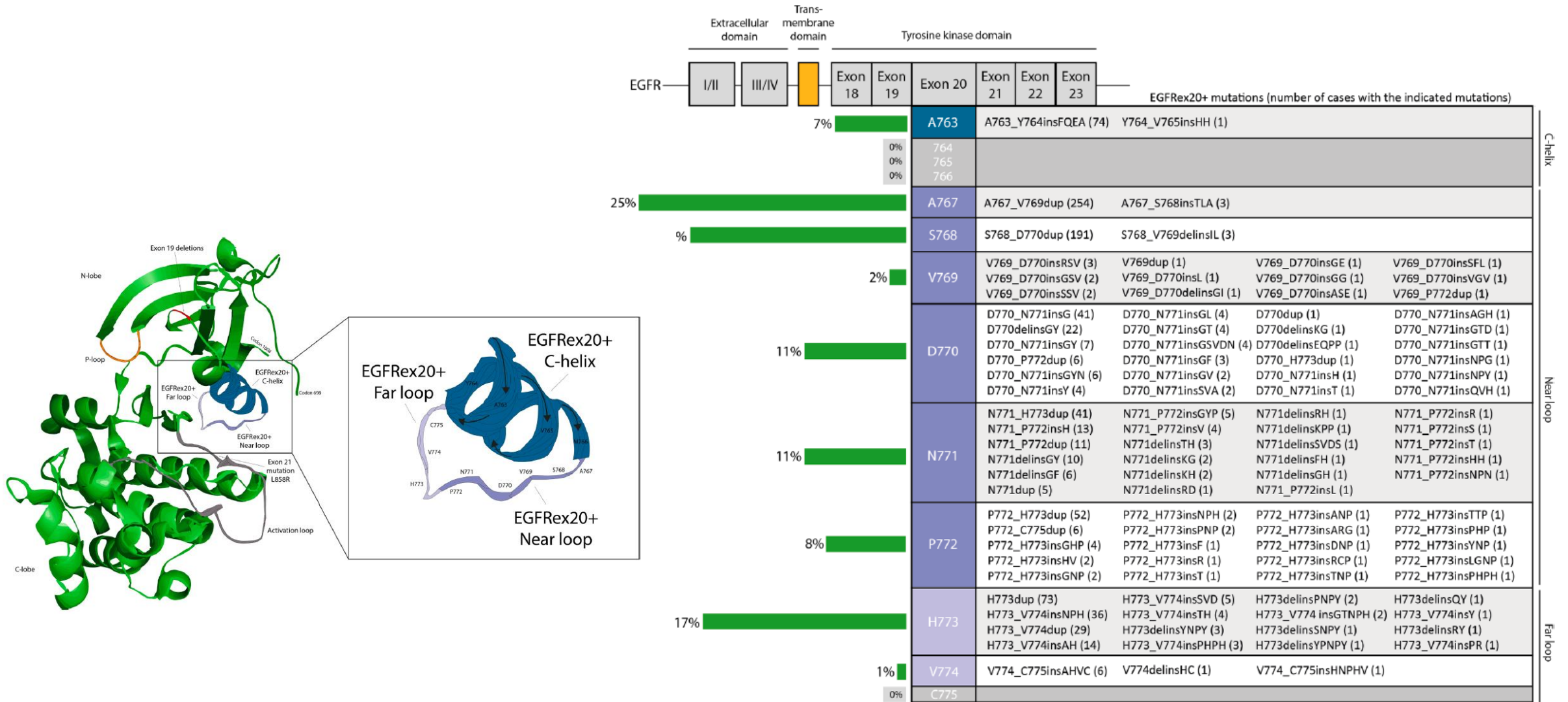
- EGFR遺伝子変異の約90%はエクソン19の欠失、エクソン21のL858R変異
- その他の遺伝子変異はuncommon mutationとされる
- エクソン20の挿入変異は従来のEGFR-TKIに対する感受性は乏しい



G719X (3.1%)		Del 19 (44.8%)	
G719A	27	delE746_A750	67
G719A+S768I/L861Q/L861R	11	delL747_P753insS	8
G719S	25	delL747_T751	5
G719S+S768I/L861Q/E709A	13	delL747_A750insP	3
G719C	12	delL747_S752	3
G719C+S768I/E709K/E709H	9	delE746_S752insV	2
others	3	delE746_P753insVS	1
E709X (0.3%)		Ins 20 (5.8%)	
E709K+G719S/G719C/L858R	44	V769_D770insASV	20
E709A+G719S/G719E	33	D770_N771insSVD	19
others	22	H773_V774insH	8
Del 18 (0.3%)		L858R (39.8%)	
delE709_T710insD	100	A763_Y764insFQEA	7
		H773_v774insPH	5
		H773_V774insNPH	4
		N771_P772insN	3
		H773_V774insAH	3
		D770delinsGY	2
		V774_C775insHV	2
		others	25
		S768I (1.1%)	
		Ins 19 (0.6%)	
		I744_K745insKIPVAI	58
		K745_E746insIPVAIK	26
		K745_E746insVPVAIK	11
		K745_E746insTPVAIK	5



EGFR Ex20 insertion



症例（仮想症例です）

NSCLC (Ad) 術後再発 pT1bN2M0 p StageIIIA

EGFR : 野生型 ALK-IHC : 陰性 ROS1 : 野生型 KRAS : 野生型 MET : 野生型

■体細胞変異一覧

■一塩基変異 / 挿入・欠失情報

腫瘍						公共データベース情報
No	遺伝子名	アレル頻度[%]	変異種類	CDS変化	アミノ酸変化	COSMIC(登録数)
1	● APC	11.0(191/1,735)	frameshift insertion	exon10:c.1115_1116insT	S373fs*5	(-)
2	● EGFR	6.7(183/2,724)	nonframeshift insertion	exon20:c.2284_2285insAAGCCTTCCAGG	A763_Y764insFQEA	26720(5)
3	● TP53	12.0(214/1,786)	stopgain SNV	exon6:c.592G>T	E198*	44241(81)
4	● SMAD4	12.1(183/1,517)	nonsynonymous SNV	exon9:c.1055G>A	G352E	4806745(9)
5	NOTCH3	11.0(215/1,950)	nonsynonymous SNV	exon17:c.2747A>T	Y916F	(-)

術後治療 : CDDP+VNR

一次治療 : CBDCA+PEM+Pemblo

二次治療 : DTX+RAM

NCCオンコパネルを実施

■遺伝子コピー数異常情報

No	遺伝子名	変異種類	遺伝子コピー数比
-	-	-	-

CGP検査結果を基にOsimertinibを開始
→PR

■遺伝子再構成情報

No	遺伝子名	変異種類	融合様式	切断領域	exon結合予測(リーディングフレーム予測)
-	-	-	-	-	-

※遺伝子名の左側に●表記がある変異は、RG サマリーレポートに報告されている変異です。

*1 変異が報告されている場合、リード数が閾値を下回った領域に検出された変異を示します。

■マイクロサテライト不安定性 (MSI)

ステータス(スコア)
MSS(0.38)

EGFR Ex20 insertion

EGFR A763_Y764insFQEA

EGFR Ex20 mutation	Erlotinib		Gefitinib		Afatinib		Pozotinib		Osimertinib 80mg			Osimertinib 160mg		
	n	nPS	n	nPS	n	nPS	n	nPS	n	nPS	n	nPS	n	nPS
A763 A763_Y764insFQEA	n=4	n=1	n=1	n=1	10.1	n=1	24		n=5	n=1	n=2	5.1	n=1	13.8
Y764 Y764_V765insHH			n=1	n=1	9				n=1					
765 No data														
766 No data														
A767 A767_V769dup	n=1	n=2	n=7	1.5	n=8	n=1	1.7	n=2	n=2	18.6	n=2	n=4	n=2	
S768 S768_V769delinsL									n=1		n=1		n=1	8
S768 S768_D770dup	n=2	n=6		1	n=1	n=9	1.7	n=1	5.4	n=3	n=2	n=3	n=1	4
V769 V769delinsGI	n=1			1										
V769 V769_D770insASE														
V769 V769_D770insGSV					n=1		1.4	n=1						
V769 V769_D770insRSV	n=1			3										
V769 V769_D770insSFL														
V769 V769_D770insSSV														
D770 D770dup				n=1			2.1							
D770 D770delinsGY	n=2			1	n=2		0.7	n=1	n=3	n=2	n=2	7.6		
D770 D770_P772dup					n=1		2	n=1			n=1			3.4
D770 D770_N771insG					n=1		1.5	n=1	n=4	n=1	n=2	n=1		5
D770 D770_N771insGL	n=2			4.9										
D770 D770_N771insGT	n=1		n=1	0.9					n=1					
D770 D770_N771insGTD									n=1					
N771 N771dup	n=1			2										
N771 N771delinsGF									n=1					
N771 N771delinsGH									n=1					
N771 N771delinsGY									n=2					
N771 N771delinsKH									n=1					
N771 N771delinsKG						n=1	NA							
N771 N771delinsRD									n=1					
N771 N771delinsRH									n=1					
N771 N771delinsTH									n=1					
N771 N771delinsKPP			n=1		8									
N771 N771_P772insH						n=1	7.8		n=2	n=3		4.9		
N771 N771_P772insL									n=1			4.9		
N771 N771_P772insS						n=1	2.8							
N771 N771_P772insV										n=1			1	
N771 N771_P772insHH														
N771 N771_P772insRH									n=1					
N771 N771_P772insNPN									n=1					
N771 N771_H773dup									n=2	n=1	n=3	n=1	12.4	
P772 P772_H773dup										n=1	n=2		4.9	
P772 P772_V774dup	n=1			2										
P772 P772_H773insF											n=1		NA	
P772 P772_H773insR											n=1		0.7	
P772 P772_H773insT	n=1			1										
P772 P772_H773insHV														
P772 P772_H773insARG						n=1	0.8							NA
P772 P772_H773insTNP														
P772 P772_H773insYNP	n=1			2.1										
P772 P772_H773insPHP														
P772 P772_H773insQPNP									n=1					0.8
H773 H773dup	n=1			0.8	n=1		4	n=2	8.7	n=1				
H773 H773_V774dup	n=1			17	n=1	n=1	3.5			n=3				
H773 H773delinsLM									n=1		n=1			13.5
H773 H773delinsYNPY									n=2					
H773 H773delinsYNPY									n=1					
H773 H773_V774insGG									n=1					
H773 H773_V774insPR														
H773 H773_V774insY														
H773 H773_V774insAH	n=1			2.5					n=3		n=1			1.7
H773 H773_V774insTH									n=1					
H773 H773_V774insNPH	n=2			2.1	n=1		1.9	n=1	28	n=2				
774 No data														

■ Complete response
■ Partial response
■ Stable disease
■ Progressive disease
■ Inevaluable

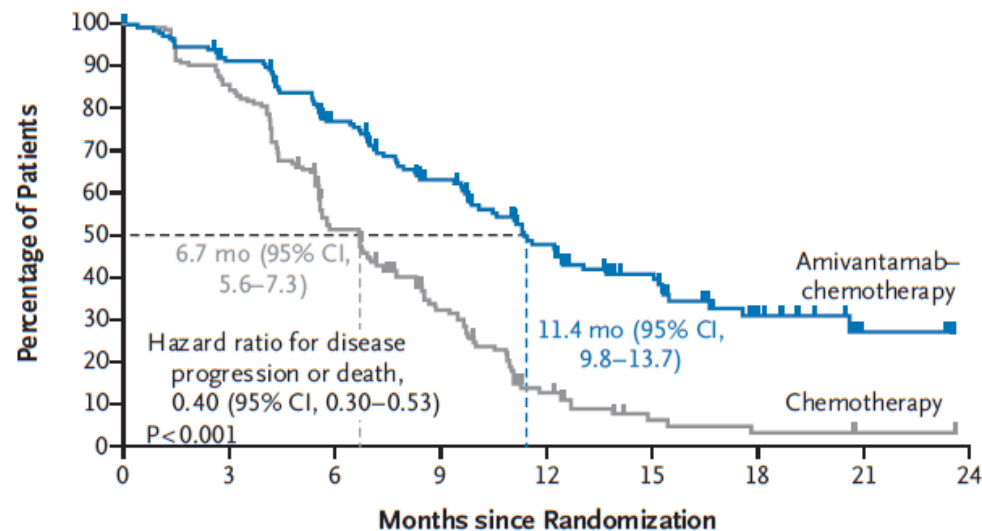
Table 1. Clinical, Pathologic Characteristics and Response to EGFR TKIs of Patients With Tumors Harboring the EGFR Exon 20 Insertion Mutation A763_Y764insFQEA. Data From Reported Literature and Current Report

Case Number	Reference	Sex/Age(Y)/ Ethnicity/PS	Smoking History (Pack-Y)	Histology Subtype	EGFR TKI (Line of Therapy)	Dose (for >50% Course), mg/d	Response RECIST	Percent Change Target Lesion(s), %	PFS (mo) ^a	OS (mo From Start of EGFR TKI) ^a
1	2	Female/69/ Asian/1	Never (0)	Adenocarcinoma	Erlotinib (second line)	150	PR	-78.5	18.0	24.0
2	7	Female/46/ Asian/-	Never (0)	Adenocarcinoma	Erlotinib (third line)	-	PR	-	14.5	14.5+
3	7	Male/83/-/-	-	Adenocarcinoma	Erlotinib (third line)	-	SD	-	10.3+	10.3+
4	8	Female/34/-/-	Never (0)	Adenocarcinoma	Erlotinib (second line)	-	PR	-	9.0	17.5+
5	2	Female/38/ White/-	Former (5)	Adenocarcinoma	Erlotinib (first line)	150	PR	-60.0	5.5	16.0
6	9	Male/75/ Asian/1	Former (40)	Adenocarcinoma	Erlotinib (fourth line)	50	PR	-31.7	5.0+	5.0+
7	2	Female/67/ White/1	Never (0)	Adenocarcinoma	Erlotinib (third line)	150	SD	-24.0	3.9	6.7
8	10	-	-	Adenocarcinoma	Erlotinib (second line)	-	PR	-	3.2	25.0
9	7	Male/45/ Asian/-	Current (20)	Adenocarcinoma	Erlotinib (first line)	-	PD	-	3.0	40.0
10	11	Female/65/ Asian/-	-	-	Gefitinib (first line)	-	PR	-	9.0 (T790M)	14.1+
11	7	Female/42/ Asian/-	Never (0)	Adenocarcinoma	Gefitinib (first line)	-	PR	-	4.9	22.0
12	12	Male/26/ White/1	Never (0)	Adenocarcinoma	Afatinib (second line)	40	SD	-21.0	4.2	4.2+
13	7	Female/62/-/-	-	Adenocarcinoma	Afatinib (second line)	-	PD	-	2.3	2.3
14	(current report)	Male/72/ White/1	Current (120)	Adenocarcinoma	Osimertinib (second line)	80	SD	-28.1	16.9	17.6
15	11	Female/65/ Asian/-	-	-	Osimertinib (second line)	80	PR	-50.0	5.1	5.1+
16	13	-	-	-	Mobocertinib (second line)	160	PR	-30.0	9.0	11.0+

JTO Clinical and Research Reports Vol. 1 No. 3: 1-8

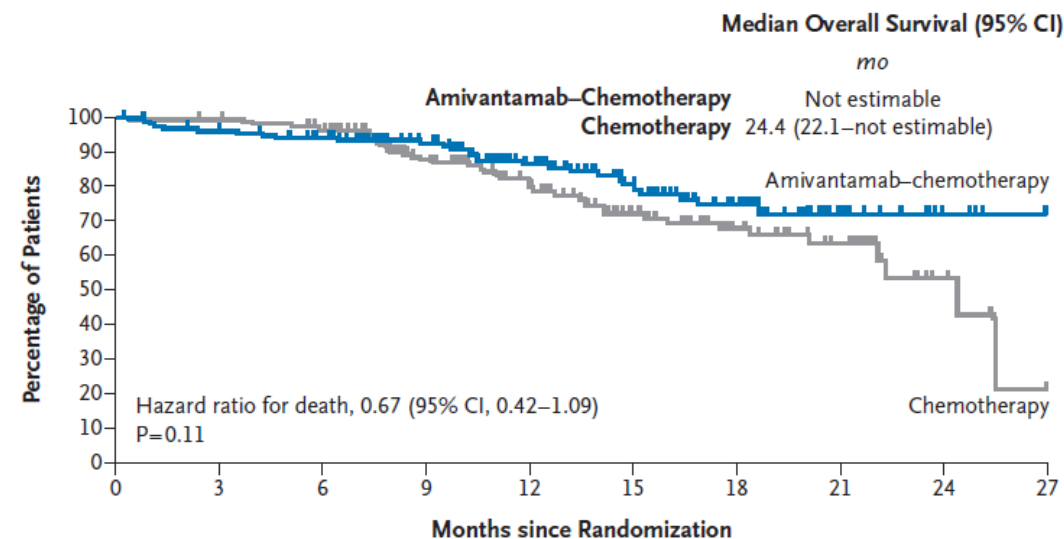
EGFR exon20 insertion 一次治療

A Progression-free Survival, Blinded Independent Central Review



No. at Risk	0	3	6	9	12	15	18	21	24
Amivantamab-chemotherapy	153	135	105	74	50	33	15	3	0
Chemotherapy	155	131	74	41	14	4	2	1	0

C Overall Survival



No. at Risk	0	3	6	9	12	15	18	21	24	27
Amivantamab-chemotherapy	153	144	133	115	88	60	38	15	5	0
Chemotherapy	155	153	144	110	85	57	37	24	6	0

N Engl J Med 2023;389:2039-5

CQ50.

エクソン20の挿入変異に対して、一次治療で標的療法が勧められるか？

aエクソン20の挿入変異にはカルボプラチン+ペメトレキセド+アミバンタマブ併用療法を行うよう強く推奨する。

〔推奨の強さ：1，エビデンスの強さ：B〕

bエクソン20の挿入変異にはEGFR-TKI単剤療法を行わないよう強く推奨する。

〔推奨の強さ：1，エビデンスの強さ：C〕

非小細胞肺がん コンパニオン検査 マルチプレックス検査

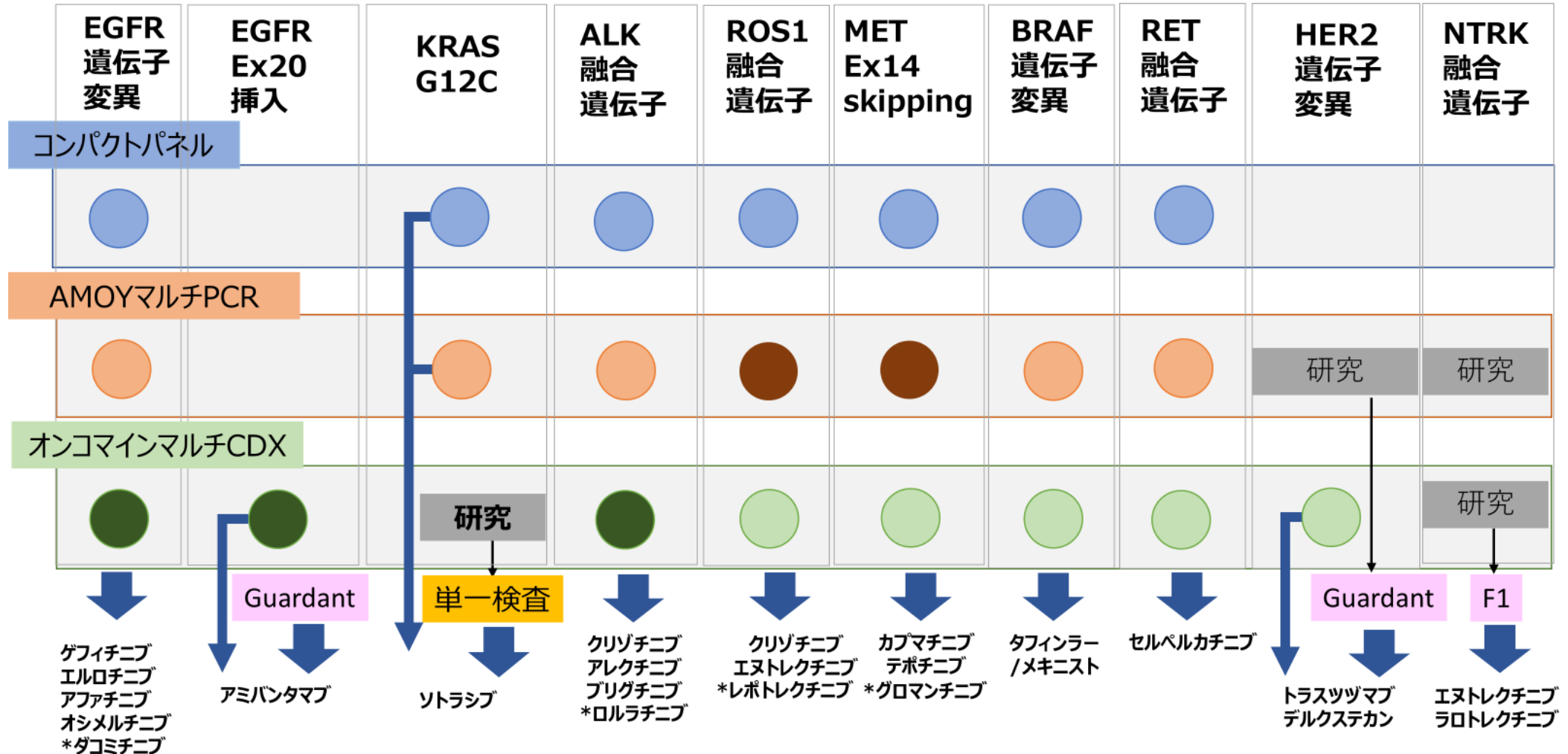
各検査添付文書より
2024/11現在

		オンコマイン™ Dx Target Test マルチ CDxシステム	AmoyDx® 肺癌マルチ遺伝子 PCRパネル	コンパクトパネル Dx マルチコンパニオン診断システム
検査法		アンプリコン法(NGS)	リアルタイムPCR	アンプリコン法(NGS)
対象検体		腫瘍(FFPE) DNA/RNA	腫瘍(FFPE) DNA/RNA	腫瘍(FFPE)・細胞診 DNA/RNA
対象遺伝子数		46遺伝子	9遺伝子	7遺伝子
	頻度			
EGFR変異	30%	ゲフィチニブ、エルロチニブ、アファチニブ、 オシメルチニブ、 ダコミチニブ	ゲフィチニブ、エルロチニブ、アファチニブ、 オシメルチニブ	ゲフィチニブ、エルロチニブ、アファチニブ、 オシメルチニブ
EGFR Ex20挿入変異	4-10%	アミバンタマブ	—	—
ALK融合遺伝子	5%	クリゾチニブ、アレクチニブ ブリグチニブ ロルラチニブ	クリゾチニブ、アレクチニブ、ブリグチニブ	クリゾチニブ、アレクチニブ、ブリグチニブ
KRAS G12C変異	5%	研究	ソトラシブ	ソトラシブ
ROS1融合遺伝子	3%	クリゾチニブ、エヌトレクチニブ	クリゾチニブ、エヌトレクチニブ、 レボトレクチニブ	クリゾチニブ
MET Ex14 スキッピング変異	3%	カプマチニブ テポチニブ	テポチニブ、カプマチニブ、 グマロンチニブ	テポチニブ
HER2変異	3%	トラスツツマブデルクステカン	研究	計画中
RET融合遺伝子	2%	セルペルカチニブ	セルペルカチニブ	セルペルカチニブ
BRAF V600E変異	1%	ダブラフェニブ/トラメチニブ	ダブラフェニブ/トラメチニブ	ダブラフェニブ/トラメチニブ
NTRK融合遺伝子	1%	研究	研究	—

非小細胞肺がん マルチプレックス検査

マルチプレックス検査が推奨されるがすべての承認薬剤をカバーする検査はなく、最初の検査選択により薬剤選択が限定される

2024年11月現在



EGFR Ex20ins、BRAF、HER2、NTRK、RET、METは単一検査の承認はない

非小細胞肺癌 コンパニオン検査間のカバー領域の違い

A; CDx承認対象のバリエーション, **B1**; 網羅的ゲノムプロファイリング (CGP) 検査として検出可能な薬事承認範囲内のバリエーション (実際に検出確認はされていないが設計上検出可能と推定されるものも含む), **B2**; 薬事承認対象外の参考情報として入手可能なバリエーション, **C**; 検出不可のバリエーション (実際に検出確認はされていないが設計上検出不可と推定されるものも含む), **-**; 本リスト作成時点でCOSMICで登録されていないバリエーション

遺伝子	エクソン	COSMIC ID (mutation)	塩基変化	アミノ酸変化	シングルCDx				マルチCDx			CDx機能付CGP		
					thera screen EGFR	コ/ス EGFR	EGFR リキッド	thera screen KRAS	ODxTT マルチ	AmoyDx マルチ	コンパト マルチ	F1CDx	F1Liquid CDx	G360 CDx
EGFR	20	COSM22955	c.2310_2311insGGCGAC	p.V769_D770insDG	C	C	C	C	B2	C	A	B1	B1	B1
EGFR	20	-	c.2310_2311insGGG	p.D770_N771insG	C	C	C	C	B2	A	B2	B1	B1	B1
EGFR	20	COSM85795	c.2310_2311insGGGAC	p.V769_D770insDG	C	C	C	C	B2	A	A	B1	B1	B1
EGFR	20	COSM48921	c.2310_2311insGGTTA	p.D770_N771insGL	C	C	C	C	B2	A	A	B1	B1	B1
EGFR	20	COSM65515	c.2310_2311insGGTTT	p.D770_N771insGF	C	C	C	C	B2	A	A	B1	B1	B1
EGFR	20	COSM12378	c.2310_2311insGGT	p.D770_N771insG	C	C	C	C	B2	A	A	B1	B1	B1
EGFR	20	COSM1238030	c.2310_2311insTAC	p.D770_N771insY	C	C	C	C	B2	C	A	B1	B1	B1
EGFR	20	COSM6962256	c.2310_2311insTACGTGATGGCCAGCGTGGAC	p.A763_V764insYVMASVD	C	C	C	C	B2	C	A	B1	B1	B1
EGFR	20	-	c.2311_2312delAinsCCCC	p.N771delinsPH	C	C	C	C	B2	C	B2	B1	B1	B1
EGFR	20	COSM53189	c.2311_2312delAinsGGTT	p.N771delinsGY	C	C	C	C	B2	C	A	B1	B1	B1
EGFR	20	COSM5023007	c.2311_2312delAinsGTCC	p.N771delinsVH	C	C	C	C	B2	C	A	B1	B1	B1
EGFR	20	COSM18431	c.2311_2312delAinsGGTT	p.N771delinsGF	C	C	C	C	B2	A	A	B1	B1	B1
EGFR	20	COSM22946	c.2311_2312insCAC	p.N771delinsTH	C	C	C	C	B2	C	A	B1	B1	B1
EGFR	20	COSM5023008	c.2311_2312insCCA	p.D770_N771insT	C	C	C	C	B2	C	A	B1	B1	B1
EGFR	20	COSM6920147	c.2311_2312insGCACCC	p.N771delinsSTH	C	C	C	C	B2	C	A	B1	B1	B1
EGFR	20	COSM1651743	c.2311_2312insCGTGGAAA	p.D770_N771insSVE	C	C	C	C	B2	C	A	B1	B1	B1
EGFR	20	COSM13428	c.2311_2312insCGTGGACA	p.A767_V768insSVD	C	A	C	C	B2	A	A	B1	B1	B1
EGFR	20	COSM24434	c.2311_2312insGTC	p.N771delinsSH	C	C	C	C	B2	C	A	B1	B1	B1
EGFR	20	COSM1651744	c.2311_2312insGTGGCC	p.N771delinsGH	C	C	C	C	B2	C	A	B1	B1	B1
EGFR	20	COSM26719	c.2311_2312insTGGCACCCCA	p.D770_N771insMATP	C	C	C	C	B2	C	A	B1	B1	B1
EGFR	20	-	c.2312_2313insACA	p.N771delinsKH	C	C	C	C	B2	C	B2	B1	B1	B1
EGFR	20	COSM6438147	c.2312_2313insACT	p.N771delinsKL	C	C	C	C	B2	A	A	B1	B1	B1
EGFR	20	-	c.2312_2313insGGACAA	p.V769_D770insDX	C	C	C	C	B2	C	B2	B1	B1	B1
EGFR	20	COSM13554	c.2312_2315delinsCGTGGACAAACCCG	p.N771_P772delinsVDNR	C	C	C	C	B2	C	A	B1	B1	B1
EGFR	20	-	c.2313_2314delCinsGGGG	p.N771delinsG	C	C	C	C	B2	C	B2	B1	B1	B1
EGFR	20	COSM13003	c.2313_2314insAAC	p.D770_N771insN	C	C	C	C	B2	C	A	B1	B1	B1
EGFR	20	-	c.2313_2314insACA	p.N771_P772insT	C	C	C	C	B2	C	B2	B1	B1	B1
EGFR	20	COSM6922328	c.2313_2314insGTC	p.N771_P772insV	C	C	C	C	B2	C	A	B1	B1	B1
EGFR	20	-	c.2313_2314insTTG	p.N771_P772insL	C	C	C	C	B2	C	B2	B1	B1	B1
EGFR	20	-	c.2314_2315insACAACC	p.D770_N771insNH	C	C	C	C	B2	C	B2	B1	B1	B1
EGFR	20	COSM1238031	c.2314_2315insACC	p.N771_P772insH	C	C	C	C	B2	A	A	B1	B1	B1
EGFR	20	COSM6931207	c.2314_2315insACCACC	p.N771_P772insHH	C	C	C	C	B2	A	A	B1	B1	B1
EGFR	20	COSM166390	c.2314_2315insGGCACC	p.N771_P772insRH	C	C	C	C	B2	C	A	B1	B1	B1
EGFR	20	-	c.2314_2315insTCC	p.N771_P772insL	C	C	C	C	B2	C	B2	B1	B1	B1
EGFR	20	COSM48923	c.2315_2316insGACACCCC	p.N771_P772insPTH	C	C	C	C	B2	C	A	B1	B1	B1
EGFR	20	COSM6845099	c.2315_2316insGGACAACCC	p.V769_D770insDNP	C	C	C	C	B2	C	A	B1	B1	B1
EGFR	20	COSM12388	c.2316_2316delCinsAACCCCT	p.P772_H773insTP	C	C	C	C	B2	A	A	B1	B1	B1
EGFR	20	-	c.2316_2316delCinsTACCCTCACCT	p.P772_H773insHPHP	C	C	C	C	B2	C	B2	B1	B1	B1
EGFR	20	-	c.2316_2317msAACCCC	p.D770_N771insNP	C	C	C	C	B2	C	A	B1	B1	B1
EGFR	20	COSM6977296	c.2316_2317msAACCCCAACCC	p.D770_N771insNPTP	C	C	C	C	B2	C	A	B1	B1	B1
EGFR	20	COSM1651745	c.2316_2317msGACAACCC	p.V769_D770insDNP	C	C	C	C	B2	A	A	B1	B1	B1
EGFR	20	-	c.2316_2317msGGAAACCC	p.D770_N771insNPG	C	C	C	C	B2	C	B2	B1	B1	B1
EGFR	20	-	c.2316_2317msGGCAACCC	p.D770_N771insNPG	C	C	C	C	B2	C	B2	B1	B1	B1
EGFR	20	-	c.2316_2317msGGCAC	p.P772_H773insGT	C	C	C	C	B2	C	B2	B1	B1	B1
EGFR	20	-	c.2316_2317msGTGGACAACCC	p.V769_V769insVDNP	C	C	C	C	B2	C	B2	B1	B1	B1
EGFR	20	COSM255205	c.2316_2317msGTT	p.P772_H773insV	C	C	C	C	B2	A	A	B1	B1	B1
EGFR	20	-	c.2317_2317delCinsAACCCCT	p.H773delinsNPFY	C	C	C	C	B2	C	B2	B1	B1	B1
EGFR	20	-	c.2317_2318msCAAACCC	p.D770_N771insNPP	C	C	C	C	B2	C	B2	B1	B1	B1
EGFR	20	COSM1735761	c.2317_2318msTAAACCCCT	p.H773delinsPNFY	C	C	C	C	B2	A	A	B1	B1	B1
EGFR	20	-	c.2317_2318msGTT	p.H773delinsRY	C	C	C	C	B2	C	B2	B1	B1	B1
EGFR	20	COSM5023006	c.2319_2320msAACCC	p.P772_H773insHN	C	C	C	C	B2	C	A	B1	B1	B1
EGFR	20	COSM12381	c.2319_2320msAACCCCAAC	p.D770_N771insNPH	C	C	C	C	B2	A	A	B1	B1	B1
EGFR	20	COSM3727813	c.2319_2320msACAAACCCCAACCC	p.H773_V774insTOPP	C	C	C	C	B2	C	A	B1	B1	B1
EGFR	20	COSM12377	c.2319_2320msCAC	p.P772_H773insH	A	A	C	C	B2	A	A	B1	B1	B1
EGFR	20	COSM131552	c.2319_2320msCAG	p.H773_V774insOQ	C	C	C	C	B2	C	A	B1	B1	B1
EGFR	20	COSM12380	c.2319_2320msCCCCAC	p.N771_P772insPH	C	C	C	C	B2	A	A	B1	B1	B1
EGFR	20	COSM1238028	c.2320_2321msCCACAG	p.P772_H773insHA	C	C	C	C	B2	A	A	B1	B1	B1
EGFR	20	COSM51544	c.2320_2321msGCAACCCCAACG	p.D770_N771insNPHG	C	C	C	C	B2	C	A	B1	B1	B1
EGFR	20	COSM18432	c.2321_2322insCACGT	p.P772_H773insHV	C	C	C	C	B2	A	A	B1	B1	B1
EGFR	20	COSM22948	c.2322_2323insCACGT	p.P772_H773insHV	C	C	C	C	B2	A	A	B1	B1	B1
EGFR	20	COSM4170223	c.2322_2323insCACGT	p.V774_C775insPR	C	C	C	C	B2	C	A	B1	B1	B1
EGFR	20	COSM6845098	c.2322_2323msCCCCACGTG	p.N771_P772insPHV	C	C	C	C	B2	C	A	B1	B1	B1
EGFR	20	COSM22954	c.2324G>A	p.C775V	C	C	C	C	B2	C	B2	B1	B1	B1
EGFR	20	COSM6240	c.2369C>T	p.T790M	A	A	B2	A	A	A	B2	A	A	B1
EGFR	20	-	c.2374C>G	p.L792V	C	C	B2	B2	C	B2	B1	B1	B1	B1
EGFR	20	COSM6493934	c.2375T>A	p.L792H	C	C	B2	B2	C	B2	B1	B1	B1	B1
EGFR	20	COSM20891	c.2386G>A	p.G796S	C	C	B2	B2	C	B2	B1	B1	B1	B1
EGFR	20	COSM6493935	c.2386G>C	p.G796R	C	C	B2	B2	C	B2	B1	B1	B1	B1
EGFR	20	-	c.2386G>T	p.G796C	C	C	B2	B2	C	B2	B1	B1	B1	B1
EGFR	20	COSM6493937	c.2389T>A	p.C797S	C	C	B2	B2	A	B2	B1	B1	B1	B1
EGFR	20	COSM5945664	c.2390C>C	p.C797S	C	C	B2	B2	A	B2	B1	B1	B1	B1

遺伝子	エクソン	COSMIC ID (mutation)	塩基変化	アミノ酸変化	シングルCDx				マルチCDx			CDx機能付CGP		
					thera screen EGFR	コ/ス EGFR	EGFR リキッド	thera screen KRAS	ODxTT マルチ	AmoyDx マルチ	コンパト マルチ	F1CDx	F1Liquid CDx	G360 CDx
EGFR	20	COSM22955	c.2310_2311insGGCGAC	p.V769_D770insDG	C	C	C	C	B2	C	A	B1	B1	B1
EGFR	20	-	c.2310_2311insGGG	p.D770_N771insG	C	C	C	C	B2	A	B2	B1	B1	B1
EGFR	20	COSM85795	c.2310_2311insGGGAC	p.V769_D770insDG	C	C	C	C	B2	A	A	B1	B1	B1
EGFR	20	COSM48921	c.2310_2311insGGTTA	p.D770_N771insGL	C	C	C	C	B2	A	A	B1	B1	B1
EGFR	20	COSM65515	c.2310_2311insGGTTT	p.D770_N771insGF	C	C	C	C	B2	A	A	B1	B1	B1
EGFR	20	COSM12378	c.2310_2311insGGT	p.D770_N771insG	C	C	C	C	B2	A	A	B1	B1	B1
EGFR	20	COSM1238030	c.2310_2311insTAC	p.D770_N771insY	C	C	C	C	B2	C	A	B1	B1	B1
EGFR	20	COSM6962256	c.2310_2311insTACGTGATGGCCAGCGTGGAC	p.A763_V764insYVMASVD	C	C	C	C	B2	C	A	B1	B1	B1
EGFR	20	-	c.2311_2312delAinsCCCC	p.N771delinsPH	C	C	C	C	B2	C	B2	B1	B1	B1
EGFR	20	COSM53189	c.2311_2312delAinsGGTT	p.N771delinsGY	C	C	C	C	B2	C	A	B1	B1	B1
EGFR	20	COSM5023007	c.2311_2312delAinsGTCC	p.N771delinsVH	C	C	C	C	B2	C	A	B1	B1	B1
EGFR	20	COSM18431	c.2311_2312delAinsGGTT	p.N771delinsGF	C	C	C	C	B2	A	A	B1	B1	B1
EGFR	20	COSM22946	c.2311_2312insCAC	p.N771delinsTH	C	C	C	C	B2	C	A	B1	B1	B1
EGFR	20	COSM5023008	c.2311_2312insCCA	p.D770_N771insT	C	C	C	C	B2	C	A	B1	B1	B1
EGFR	20	COSM6920147	c.2311_2312insGCACCC	p.N771delinsSTH	C	C	C	C	B2	C	A	B1	B1	B1
EGFR	20	COSM1651743	c.2311_2312insCGTGGAAA</											

事例検討

・肺がんの一次治療選択のために実施する検査について オンコマイン以外のマルチプレックス検査を実施した場合

- ① Guardant360をコンパニオン検査として実施する
- ② 標準治療終了(見込み)でCGP検査を実施する
- ③ 追加で検査はしない

・ガイドライン上一次治療の多剤併用治療で推奨される薬剤が標準治療終了(見込み)で実施したCGP検査の結果を基に適応と考えられる場合

- ① 提案する
- ② 提案しない